

**ПРИМЕНЕНИЕ КЛЕТОЧНО-АВТОМАТНОЙ МОДЕЛИ  
ПОТОКА ВЯЗКОЙ ЖИДКОСТИ  
В ИССЛЕДОВАНИИ ТРЕХМЕРНЫХ ПОРИСТЫХ СРЕД \***

**Ю. Г. Медведев**

*Институт вычислительной математики и математической геофизики СО РАН,  
Новосибирск  
E-mail: medvedev@ssd.sccc.ru*

Рассмотрена проблема клеточно-автоматного моделирования потоков жидкости в пористых средах. Для исследований использована трехмерная клеточно-автоматная модель RD-I. Кратко описана структура этой модели, подробно рассмотрены граничные условия и способ осреднения по времени. Представлена серия вычислительных экспериментов по моделированию потока жидкости через пористую среду. Произведено сравнение его характеристик с законом Дарси и другими физическими законами. Приведены иллюстрации поля скорости модельного потока в пористой среде.

**Введение.** Клеточно-автоматное (КА) моделирование потоков жидкости в последнее время получило большое развитие. Известен ряд двумерных моделей, а также четырехмерная, моделирующая трехмерные потоки [1]. В работе [2] предложена трехмерная КА-модель, имеющая гораздо меньшую сложность, чем четырехмерная. Результаты экспериментальных исследований подтверждают, что трехмерная КА-модель адекватно описывает поток вязкой жидкости. В [3] получены количественные характеристики модельных параметров и выведены соотношения между ними и физическими характеристиками потока, такими как вязкость, геометрические размеры, давление.

В предлагаемой работе описаны граничные условия трехмерной модели RD-I, рассмотрены способы осреднения по пространству и по времени. Представленные материалы относятся к области изучения пористых сред. В связи с этим введены некоторые понятия, используемые в динамике пористых сред, описаны способы задания пористой среды в КА-модели. Работа содержит следующие результаты численного моделирования: поле скорости потока в пористой среде, зависимость скорости фильтрации от напорного градиента и зависимость коэффициента фильтрации от плотности заполнения среды.

---

\* Работа выполнена при поддержке Президиума РАН «Программа фундаментальных исследований № 14.15» (2006).

**Модель RD-I.** Трехмерная модель RD-I задается следующим образом. Клетки  $w \in W$  автомата расположены в трехмерных декартовых координатах так же, как и центры ромбических додекаэдров, плотно заполняющих трехмерное пространство. Соседними с клеткой  $w$  являются клетки  $N_l(w)$ ,  $l=1,2,\dots,12$ , которые находятся в центрах ромбододекаэдров, имеющих с  $w$  общую грань.

Для определения координат  $x, y, z \in Z$  клетки  $w$  в трехмерной декартовой системе каждой клетке  $w \in W$  ставится во взаимно однозначное соответствие тройка целочисленных индексов  $i, j, k \in Z$ . С учетом этого соответствия множество  $W$  клеток автомата обозначается как  $W = \{w_{i,j,k} : i, j, k \in Z\}$ . Координаты  $x, y$  и  $z$  клетки  $w_{i,j,k}$  находятся в следующих соотношениях с ее индексами:

$$x(w_{i,j,k}) = i; \quad y(w_{i,j,k}) = j; \quad z(w_{i,j,k}) = 2k + ((i+j) \bmod 2). \quad (1)$$

Индексы клетки  $w_{i,j,k}$  зависят от ее координат следующим образом:

$$i(x, y, z) = x; \quad j(x, y, z) = y; \quad k(x, y, z) = \lfloor z/2 \rfloor, \quad (2)$$

где  $\lfloor z/2 \rfloor$  – наименьшее ближайшее целое от  $z/2$ .

На рис. 1 кружками изображены клетки в декартовой системе координат, ось  $Ox$  направлена от наблюдателя, наклонной штриховкой помечены клетки

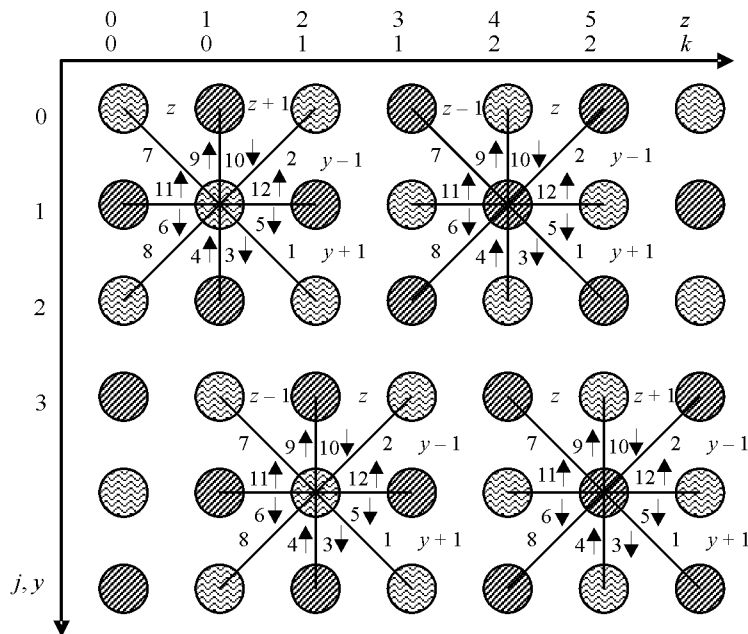


Рис. 1. Координаты клеток в трехмерном декартовом пространстве

\* Расположение клеток модели RD-I в трехмерном пространстве, предлагаемое в данной работе, отличается от описанного в [2] ориентацией системы ромбододекаэдров относительно координатных осей.

Т а б л и ц а 1  
Разность координат соседей

((i + j) mod 2) = 0				((i + j) mod 2) = 1			
<i>l</i>	$\Delta x_l$	$\Delta y_l$	$\Delta z_l$	<i>l</i>	$\Delta x_l$	$\Delta y_l$	$\Delta z_l$
1	0	1	1	1	0	1	0
2	0	-1	1	2	0	-1	0
3	1	1	0	3	1	1	0
4	-1	1	0	4	-1	1	0
5	1	0	1	5	1	0	0
6	1	0	0	6	1	0	-1
7	0	-1	0	7	0	-1	-1
8	0	1	0	8	0	1	-1
9	-1	-1	0	9	-1	-1	0
10	1	-1	0	10	1	-1	0
11	-1	0	0	11	-1	0	-1
12	-1	0	1	12	-1	0	0

Т а б л и ц а 2  
Проекция векторов скорости  
на декартовы оси

<i>l</i>	$c_{lx}$	$c_{ly}$	$c_{lz}$
1	0	1	1
2	0	-1	1
3	1	1	0
4	-1	1	0
5	1	0	1
6	1	0	-1
7	0	-1	-1
8	0	1	-1
9	-1	-1	0
10	1	-1	0
11	-1	0	-1
12	-1	0	1

в тех слоях, где  $x$  нечетное, волнистой штриховкой – где  $x$  четное. Цифрами  $l$  обозначены направления к соседним клеткам  $N_l$ , стрелки возле цифр указывают, как меняется координата  $x$ : в сторону увеличения (стрелка вверх) или в сторону уменьшения (стрелка вниз) на единицу. В табл. 1 приведены разности  $\Delta x_l, \Delta y_l$  и  $\Delta z_l$  координат  $x, y$  и  $z$  клетки  $w_{i,j,k}$  и координат каждой  $l$ -й ( $l=1,2,\dots,12$ ) соседней клетки:

$$\Delta x_l = x(N_l(w_{i,j,k})) - x(w_{i,j,k}); \quad \Delta y_l = y(N_l(w_{i,j,k})) - y(w_{i,j,k});$$

$$\Delta z_l = z(N_l(w_{i,j,k})) - z(w_{i,j,k}), \quad (3)$$

где  $x(N_l(w_{i,j,k}))$ ,  $y(N_l(w_{i,j,k}))$  и  $z(N_l(w_{i,j,k}))$  – координаты  $N_l(w_{i,j,k})$ , т. е.  $l$ -го соседа клетки  $w_{i,j,k}$ . Случаи, когда четности  $x$  и  $y$  совпадают, даны в левой части табл. 1, когда не совпадают – в правой. В табл. 2 приведены значения проекций  $c_{lx}, c_{ly}$  и  $c_{lz}$  векторов скорости  $\mathbf{c}_l$ , направленных к соседям  $N_l, l=1,2,\dots,12$ , на декартовы оси  $Ox, Oy$  и  $Oz$  соответственно.

Расстояние  $d$  между любыми двумя клетками  $w_{i_1, j_1, k_1}$  и  $w_{i_2, j_2, k_2}$  в декартовой системе координат определяется по формуле

$$d^2 = (i_2 - i_1)^2 + (j_2 - j_1)^2 +$$

$$+(2(k_2 - k_1) + ((i_2 + j_2) \bmod 2) - ((i_1 + j_1) \bmod 2))^2, \quad (4)$$

где  $(i_1, j_1, k_1)$  и  $(i_2, j_2, k_2)$  – индексы клеток  $w_{i_1, j_1, k_1}$  и  $w_{i_2, j_2, k_2}$ . Если ровно одно из значений  $i_1$  или  $j_1$  четное, то  $((i_1 + j_1) \bmod 2)$  принимает значение, равное единице, и нулевое в противном случае. Аналогичные значения принимает член  $((i_2 + j_2) \bmod 2)$ . Таким образом, расстояние между любыми двумя соседними клетками в декартовой системе координат составляет  $d = \sqrt{2}$ .

Состояние  $s$  клетки  $w \in W$  в каждый момент времени определяется набором некоторых содержащихся в ней модельных частиц, обладающих следующими свойствами.

1. Масса частицы единична,  $m = 1$ .
2. Модуль вектора скорости частицы единичный,  $|\mathbf{c}| = 1$ , либо нулевой,  $|\mathbf{c}| = 0$ . Частицы с нулевым вектором скорости называют частицами покоя.
3. Вектор скорости  $\mathbf{c}$  частицы может быть направлен только в сторону одной из соседних клеток  $N_l(w)$ ,  $l = 1, 2, \dots, 12$ .
4. В один момент времени в одной и той же клетке  $w$  не может быть двух или более частиц с одинаковыми векторами скорости  $\mathbf{c}$ .

В модели RD-I состояние  $s$  каждой клетки  $w \in W$  представлено тринадцатиразрядным булевым вектором  $(s_1, s_2, \dots, s_{13})$ . Каждый его разряд  $s_l$ ,  $l = 1, 2, \dots, 12$ , связан с направлением  $\mathbf{c}_l$  от клетки  $w$  к  $l$ -й соседней клетке  $N_l(w)$  следующим образом: если частица с направлением  $\mathbf{c}_l$  отсутствует, то  $s_l = 0$ , в противном случае  $s_l = 1$ . Разряд  $s_{13}$  соответствует частице покоя: если частица покоя отсутствует, то  $s_{13} = 0$ , если частица покоя присутствует, то  $s_{13} = 1$ .

Каждый такт работы клеточного автомата разбит на две фазы: столкновение и сдвиг. Функция переходов  $\delta$  клетки состоит, таким образом, из суперпозиции функций  $\delta_1$  (столкновение) и  $\delta_2$  (сдвиг):

$$s(t+1) = \delta(s) = \delta_2(\delta_1(s)). \quad (5)$$

Каждая из них должна удовлетворять законам сохранения массы и импульса:

$$\sum_{w \in W} \sum_{l=1}^b s_l(w, t+1) = \sum_{w \in W} \sum_{l=1}^b s_l(w, t); \quad (6)$$

$$\sum_{w \in W} \sum_{l=1}^b \mathbf{c}_l(w, t+1) = \sum_{w \in W} \sum_{l=1}^b \mathbf{c}_l(w, t),$$

а также не нарушать ни одного из четырех вышеприведенных свойств. С точки зрения динамики потока жидкости наличие этих двух фаз интерпретируется следующим образом. Столкновения реализуют диффузию в жидкости, а сдвиг – процесс переноса вещества в потоке. Рассмотрим подробно эти фазы.

В фазе столкновения происходит изменение состояния клеток автомата согласно некоторым правилам столкновения, не зависящим от состояний соседних клеток, т. е.  $s' = \delta_1(s)$  зависит только от внутреннего состояния своей

клетки. Функция  $\delta_1(s)$  выбирается такой, чтобы сохранялись масса и импульс частиц в клетке:

$$\sum_{l=1}^b s'_l(w) = \sum_{l=1}^b s_l(w), \quad \forall w \in W; \quad (7)$$

$$\sum_{l=1}^b \mathbf{c}'_l(w) = \sum_{l=1}^b \mathbf{c}_l(w), \quad \forall w \in W,$$

Здесь  $\mathbf{c}_l$  и  $\mathbf{c}'_l$  – векторы скорости  $l$ -й частицы до и после столкновения, а  $s'_l$  –  $l$ -й компонент вектора  $s$ . В модели RD-I функция  $\delta_1(s)$  вероятностная.

В фазе сдвига каждая частица перемещается на одну клетку в направлении вектора ее скорости. Значение функции сдвига  $\delta_2(s)$  определено для каждого  $l$ -го разряда  $s'_l$  вектора состояния после сдвига  $s''$  следующим образом:

$$s''_l = \begin{cases} s'_l(N_l(w)), & l=1,2,\dots,12; \\ s'_l(w), & l=13. \end{cases} \quad (8)$$

Здесь  $s'_l(N_l(w))$  –  $l$ -й разряд вектора состояния  $l$ -го соседа клетки  $w$  (его вектор скорости  $\mathbf{c}_l$  направлен в сторону клетки  $w$ ). Таким образом, при сдвиге масса и импульс частиц в клетке изменяются, т.е. нарушаются условия (7), но в пределах всего КА они сохраняются, т.е. условия (6) выполняются.

**Граничные условия.** Одно из преимуществ КА-моделей – простые граничные условия. Они задаются введением в модель клеток, поведение которых отличается от описанного выше. Определены следующие типы клеток: рабочие клетки, клетки-стенки и клетки-источники частиц. Клетки каждого из этих типов на фазе столкновения имеют различные таблицы переходов. Фаза сдвига в клетках всех типов происходит одинаково. Поведение клеток стенки и источников задает граничные условия автомата.

Функционирование клеток-стенок определяется способом отражения частиц от препятствий, зависящим от свойств стенки. Первым из них, как это было отмечено выше, является отражение в обратном направлении. При втором, более сложном способе частицы отражаются по законам геометрической оптики. Здесь необходимо учитывать не только состояние рассматриваемой клетки, но и положение соседних клеток препятствия. Третий способ – частица отражается в любом допустимом (где нет препятствия) направлении равновероятно. Четвертый (интегрированный) способ состоит из этих трех способов отражения с заданной вероятностью срабатывания каждого из них при каждом конкретном столкновении.

С точки зрения практического применения наибольший интерес представляет первый способ отражения. Именно такие стенки были использованы в экспериментах данной работы. При осреднении скоростей частиц на расстоянии до стенки  $d=0$  их значения равны нулю, что соответствует условию равенства нулю скорости потока жидкости возле стенки [4]. Правила

столкновения  $\delta_2$  для отражения в обратном направлении выглядят следующим образом:

$$s'_l = \begin{cases} s_{(l+6) \bmod 12}, & l=1,2,\dots,12; \\ s_l, & l=13, \end{cases} \quad (9)$$

где  $s_l$  – состояние  $l$ -го разряда клетки перед столкновением, а  $s'_l$  – состояние  $l$ -го разряда клетки после столкновения.

Функционирование клеток-источников обеспечивает с определенной условиями эксперимента вероятностью  $p$  генерацию частиц со всевозможными направлениями вектора скорости. Это означает, что вектор состояния клетки-источника с вероятностью  $p$  устанавливается в  $s' = 111111111110$ . Выстроив клетки-источники в пространстве в одной плоскости, можно получить источник равномерного потока частиц. Изменяя вероятность рождения частиц, можно варьировать их концентрацию в потоке.

Из правил поведения автомата следует, что объем вычислений при моделировании зависит только от общего количества клеток в автомате, но не от их типов. Поэтому сколь сложными ни были бы граничные условия, время моделирования от этого не увеличится.

**Осреднение модельных величин по времени.** Параметрам моделируемой жидкости соответствуют не микроскопические параметры модели, такие как масса и скорость частицы, а их макроскопические (осредненные) значения, причем осредненная скорость модельных частиц соответствует скорости потока, а осредненная концентрация частиц – давлению. Существует два способа осреднения: по пространству и по времени.

Окрестностью осреднения с центром в клетке  $w_0 \in W$  является множество клеток автомата, удовлетворяющее условию

$$Av(w_0, r) = \{w: (w_x - w_{0x})^2 + (w_y - w_{0y})^2 + (w_z - w_{0z})^2 \leq r^2\}, \quad (10)$$

где  $w_x, w_y, w_z$  и  $w_{0x}, w_{0y}, w_{0z}$  – координаты клеток  $w$  и  $w_0$  соответственно, а  $r \in R$  – радиус осреднения. Таким образом, окрестность осреднения составляют все клетки, находящиеся внутри шара радиуса  $r$  с центром  $w_0$ . При осреднении по пространству результатом является сумма векторов скорости частиц  $\mathbf{u}_{\text{мод}}$  во всех клетках, попадающих в окрестность осреднения  $Av(w_0)$  клетки  $w_0$  в определенный момент времени  $t$ , деленная на количество клеток в окрестности:

$$\mathbf{u}_{\text{мод}} = \frac{1}{|Av|} \sum_{k \in Av(w_0)} \sum_{l=1}^{b_m} \mathbf{c}_{l,k}(t), \quad (11)$$

где  $\mathbf{c}_{l,k}$  – вектор скорости  $l$ -й частицы в клетке  $w_k \in Av(w_0)$ ,  $b_m$  – количество соседних клеток, а  $|Av|$  – количество клеток в окрестности осреднения.

Важным параметром является радиус осреднения  $r$ . Чем больше  $r$ , тем меньше влияние дискретности модели, называемой автоматным шумом, на результат. Количество клеток в окрестности осреднения  $|Av|$  для разных радиусов приведено в табл. 3.

Т а б л и ц а 3

## Размер окрестности осреднения

Радиус $r$	Количество клеток $ Av $	Радиус $r$	Количество клеток $ Av $	Радиус $r$	Количество клеток $ Av $
0	1	7	1737	14	13087
1	13	8	2523	15	16133
2	55	9	3545	16	19447
3	157	10	4899	17	23245
4	333	11	6455	18	27485
5	667	12	8273	19	32339
6	1109	13	10511	20	37693

При экспериментальном исследовании модели RD-I выяснилось, что полученные значения скорости, как и ожидалось, коррелируют с расчетными тем лучше, чем больше радиус осреднения  $r$ , и, как видно из рис. 2, при  $r > 6$  корреляция почти полная.

Следует заметить, что при осреднении по пространству для достаточно больших размеров окрестности получить осредненные значения вблизи границ невозможно. Расстояние  $d$  от центра  $w_0$  окрестности осреднения  $Av(w_0)$  до ближайшей границы должно превышать радиус осреднения  $r$  ( $d > r$ ), иначе в окрестность осреднения войдут клетки-стенки. Поэтому вблизи границ следует использовать осреднение по времени.

При осреднении по времени результатом является сумма векторов скорости частиц, находящихся в заданной клетке  $w$  на протяжении определенного количества  $T$  подряд идущих итераций, называемых временем осреднения:

$$\mathbf{u}_{\text{мод}} = \frac{1}{T} \sum_{t=1}^T \sum_{l=1}^{b_m} \mathbf{c}_l(t), \quad (12)$$

где  $\mathbf{c}_l$  – вектор скорости  $l$ -й частицы в клетке  $w$ . Точность результата в этом способе зависит от времени осреднения  $T$ . Для достижения такой же точности, как и при осреднении по пространству с радиусом  $r$ , необходимо произвести осреднение по времени на протяжении  $T = |Av|$  итераций.

Осреднение по времени требует больше машинного времени, чем осреднение по пространству, так как при этом приходится еще и производить  $T$  дополнительных после установления стационарного режима тактов столкновений и сдвигов, но зато с его помощью можно получить осредненные значения в любой клетке КА, даже на границах. Поэтому при моделировании пористых сред используют осреднение по времени.

**Экспериментальное исследование пористой среды.** *Некоторые определения и задание условий экспериментов.* Под плотностью заполнения пористой среды  $\rho_{\text{пор}}$  понимают отношение объема твердого вещества к общему объему среды. Внутри КА, моделирующего пористую среду, случайным

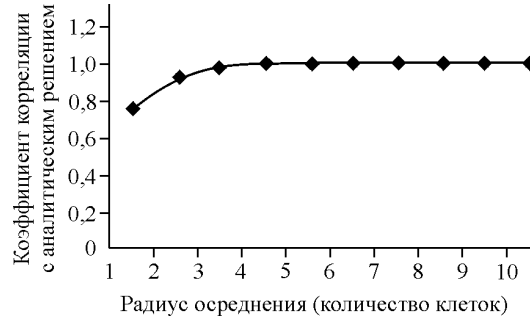


Рис. 2. Зависимость корреляции модельной и физической скоростей от радиуса осреднения  $r$

образом выбираются сферические области заданного радиуса  $r_{\text{сф}}$ , которые заполняются клетками-стенками. Пространство между этими областями имитирует поры. Модельная плотность заполнения  $\rho_{\text{пор}}$  тогда вычисляется как отношение количества клеток-стенок к общему количеству клеток в автомате. Напорным градиентом  $i = \Delta p / l$  называют отношение разности давлений жидкости  $\Delta p$  на некотором участке к длине  $l$  этого участка. Закон Дарси связывает напорный градиент со скоростью движения жидкости в пористой среде [5]:

$$\mathbf{u} = k(i - i_0), \quad (13)$$

где  $\mathbf{u}$  – скорость просачивания;  $k$  – некоторая величина, зависящая от параметров среды и называемая коэффициентом фильтрации;  $i$  – напорный градиент;  $i_0$  – пороговый напорный градиент, определяемый минимальным давлением, при котором начинается фильтрация.

В ходе исследований пористой среды сформулировано три задачи для верификации модели и определения характеристик среды.

1. Построение поля скорости в пористой среде.
2. Построение зависимости скорости  $\mathbf{u}_{\text{мод}}$  прохождения вязкой жидкости через пористую среду от напорного градиента  $i$  и сравнение ее с законом Дарси (13).
3. Построение зависимости коэффициента фильтрации  $k$  от коэффициента заполнения среды  $\rho_{\text{пор}}$ .

Для решения поставленных задач была проведена серия экспериментов. КА, используемый в экспериментах, имеет вид прямоугольного параллелепипеда размером  $800 \times 50 \times 800$  клеток и ориентирован вдоль декартовых осей. Плоскости  $x = 1, x = 800, y = 1, y = 50$  состоят из клеток-стенок. Плоскость  $z = 1$  состоит из клеток-источников, таким образом, поток распространялся вдоль оси  $Oz$  в положительном направлении. Столь малый размер автомата вдоль оси  $Oy$  (50 клеток) обусловлен симметрией направлений  $Ox$  и  $Oy$ , поля скорости в сечениях  $Oxz$  и  $Oyz$  совпадают. Для имитации пористой среды был выбран радиус сферических областей, заполненных клетками-стенками,  $r_{\text{сф}} = 5$  клеток. Экспериментально установлено, что после  $t = 150000$  итераций процесс приходит к стационарному виду. После этого количества итераций выполнялось осреднение по времени. Время осредне-



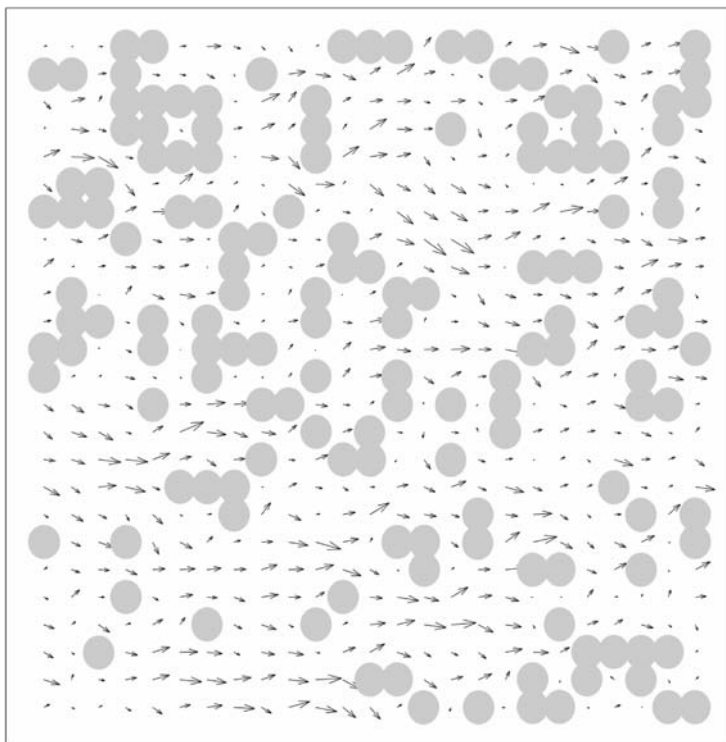


Рис. 3. Проекция поля скорости потока в пористой среде на плоскость сечения

ния выбрано  $T = 4899$ , что соответствует такой же точности, которая достигается при осреднении по пространству радиусом  $r = 10$  клеток (см. табл. 3).

*Поле скорости потока в пористой среде.* Первая задача решалась при следующих условиях. Количество сферических областей  $n_{сф} = 16000$ . Плотность заполнения  $\rho_{пор} = 19,8\%$ . На рис. 3 изображено поле скорости потока в сечении  $Oxz$  при  $y = 25$  клеток. Серыми областями обозначены участки твердой породы, а белыми – поры. Длина и направление стрелок соответствуют модулю и направлению проекции скорости потока на плоскость  $Oxz$ . На рисунке не видны составляющая скорости, направленная вдоль  $Oy$ , и расположение пор в соседних по координате  $y$  слоях, поэтому некоторые стрелки, направленные в сторону препятствий, нужно воспринимать как обтекание потоком препятствия сверху или снизу.

*Зависимость скорости потока от напорного градиента. Закон Дарси.* Вторая задача (построение зависимости скорости потока от разности давлений на концах участка) решалась при следующих параметрах эксперимента. Границы участка, на котором измерялась концентрация модельных частиц, были выбраны  $z_1 = 100$  клеток,  $z_2 = 700$  клеток. Количество сферических областей  $n_{сф} = 16000$ . Плотность заполнения  $\rho_{пор} = 19,8\%$ . Для изменения концентрации частиц производилась генерация частиц клетками-источниками с разной вероятностью (от 20 до 90 %), что соответствует различным напорным градиентам  $i$ . На рис. 4 приведена зависимость нормированной средней по сечению  $z = 400$  скорости потока от градиента концентрации модельных частиц на единицу длины. Эта зависимость получилась линейной. Концент-

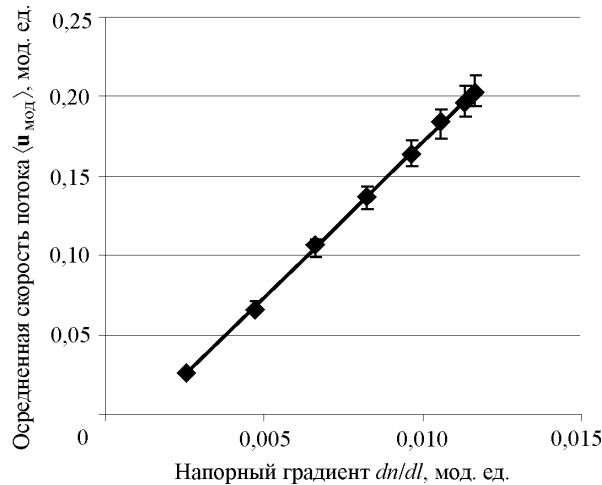


Рис. 4. Закон Дарси и экспериментальные точки ( $\langle \mathbf{u}_{\text{мод}} \rangle = 19,5dn/dl - 0,0237$ )

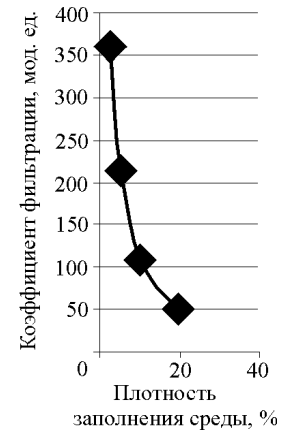


Рис. 5. Модельный коэффициент фильтрации

рация модельных частиц связана с давлением моделируемой жидкости также линейно [3], следовательно, получившаяся экспериментальная зависимость (см. рис. 4) аппроксимирует закон Дарси (13). Путем экстраполяции графика вычислен пороговый напорный градиент  $i_0$  для моделируемой пористой среды  $i_0 = 0,0237$  модельных единиц.

*Зависимость коэффициента фильтрации от плотности заполнения среды.* Для решения третьей задачи (построения зависимости коэффициента фильтрации  $k$  в пористой среде от плотности заполнения среды  $\rho_{\text{пор}}$ ) посредством изменения количества областей  $n_{\text{сф}}$  менялась плотность заполнения  $\rho_{\text{пор}}$  и определялись напорный градиент  $i$  и скорость просачивания жидкости  $\mathbf{u}_{\text{мод}}$  в сечении  $z = 400$ . Вероятность генерации частиц составляла 60 %. Для каждой пары  $i$  из (13) и  $\mathbf{u}_{\text{мод}}$  вычислялся коэффициент фильтрации  $k$ . Получившаяся экспериментальная зависимость оказалась гиперболической (рис. 5). Из графика видно, что коэффициент фильтрации  $k$  для исследуемой модели обратно пропорционален плотности заполнения  $\rho_{\text{пор}}$ . Такая зависимость характерна для большинства естественных пористых сред, для которых она была получена экспериментально [5].

**Заключение.** В ходе вычислительных экспериментов с КА-моделью RD-I построено поле скорости просачивания жидкости через пористую среду. Показано соответствие ее скорости просачивания и скорости, найденной по закону Дарси. Получена зависимость коэффициента фильтрации от плотности заполнения среды. Таким образом, модель RD-I позволяет решать задачи в пористых средах с такими же затратами машинного времени, как и не в пористых средах.

#### СПИСОК ЛИТЕРАТУРЫ

1. Rothman D. H., Zaleski S. Lattice-Gas Cellular Automata. Cambridge: Cambridge University Press, 1997.

2. **Медведев Ю. Г.** Трехмерная клеточно-автоматная модель потока вязкой жидкости // Автометрия. 2003. **39**, № 3. С. 43.
3. **Медведев Ю. Г.** Соотношение модельных и физических величин для трехмерной клеточно-автоматной модели потока жидкости // Вестн. ТГУ. Томск: Изд-во ТГУ, 2004. № 9(1). С. 223.
4. **Ландау Л. Д., Лифшиц Е. М.** Гидродинамика. М.: Наука, 1988.
5. **Sahami M.** Flow phenomena in rocks: from continuum models to fractals, cellular automata, and simulated annealing // Rev. in Modern Phys. 1993. **65**, N 4. P. 1393.

*Поступила в редакцию 3 ноября 2005 г.*

---